

بررسی تنوع ژنتیکی موجود در جمعیت‌های شبلیله با استفاده از

نشانه‌های SCoT و URP

Investigation of genetic diversity among fenugreek ecotypes using SCoT and URP markers

مریم میرزاحسین تبریزی^۱، رضا عزیزی نژاد^{۱*}، فرنگیس قنواتی^۲، علیرضا اطمینان^۳

۱- به ترتیب دانشجوی دکتری، استادیار، گروه بیوتکنولوژی و به‌نژادی گیاهی، واحد علوم و تحقیقات، دانشگاه آزاد اسلامی، تهران، ایران

۲- دانشیار، موسسه تحقیقات اصلاح و تهیه نهال و بذر، سازمان تحقیقات، آموزش و ترویج کشاورزی، کرج، ایران

۳- دانشیار، گروه بیوتکنولوژی و به‌نژادی گیاهی، واحد کرمانشاه، دانشگاه آزاد اسلامی، کرمانشاه، ایران

Mirzahosin Tabrizi M¹, Azizi Nezhad R^{*1}, Ghanavati F², Etminan A³

1- PhD Student, Assistant Professor, Department of Plant Breeding and Biotechnology, Science and Research Branch, Islamic Azad University, Tehran, Iran

2- Associate Professor, Seed and Plant Improvement Institute, Agricultural Research, Education and Extension Organization, Karaj, Iran

3- Associate Professor, Department of Plant Breeding and Biotechnology, Kermanshah Branch, Islamic Azad University, Kermanshah, Iran

* نویسنده مسئول مکاتبات، پست الکترونیکی: r.azizi@sbiau.ac.ir

تاریخ دریافت: ۱۴۰۰/۰۵/۲۴ - تاریخ پذیرش: ۱۴۰۰/۰۸/۰۶

چکیده

گونه‌های مختلف جنس *Trigonella* دارای جنبه‌های دارویی و غذایی بسیار مهمی می‌باشند. ارزیابی تنوع ژنتیکی یکی از اصول اولیه در هر برنامه اصلاحی می‌باشد که موقعیت را جهت بررسی ویژگی‌های ژنتیکی و شناسایی ژن‌های جدید برای به‌نژادگران فراهم می‌آورد. در این پژوهش تنوع ژنتیکی موجود در ۹۰ اکوتیپ شبلیله با استفاده از نشانه‌های SCoT و URP مورد بررسی قرار گرفت. با استفاده از ده آغازگر SCoT و ده آغازگر URP در مجموع به ترتیب ۱۰۹ و ۱۰۹ قطعه تکثیر شد که تمامی آن‌ها چندشکل بودند. متوسط شاخص PIC در هر دو نشانگر ۰/۳۴ برآورد شد. با این حال متوسط شاخص‌های Rp و MI در نشانه‌های URP بیشتر از SCoT بود. تجزیه واریانس مولکولی (AMOVA) بر اساس داده‌های SCoT، URP و SCoT+URP نشان داد میزان تنوع درون جمعیت‌ها نسبت به بین جمعیت‌ها بیشتر است. بر اساس مقادیر شاخص‌های تنوع ژنتیکی مشخص شد بیشترین تعداد آلل‌های مشاهده شده (Na) و بیشترین میزان شاخص شانون (I)، شاخص تنوع نی (H) و درصد جایگاه‌های چندشکل (PPL) مربوط به گونه‌های *T. foenum*، *T. monantha* و *graecum* بود. تجزیه خوشه‌ای بر اساس هر یک از نشانگرها و ترکیب داده‌های هر دو نشانگر تمامی اکوتیپ‌های ارزیابی شده را به ترتیب در سه گروه اصلی دسته‌بندی کردند. علاوه بر این مشخص شد الگوی گروه‌بندی به‌دست آمده بر اساس ترکیب داده‌های هر دو نشانگر به خوبی منطبق با ساختار تاکسونومی گونه‌ها بود. به‌طور کلی نتایج به‌دست آمده نشان داد تنوع ژنتیکی بالایی در درون اکوتیپ‌های شبلیله وجود دارد. بنابراین این مجموعه می‌تواند به‌عنوان یک منبع ژنی با ارزش جهت استفاده در برنامه‌های اصلاحی مورد استفاده قرار گیرد.

واژه‌های کلیدی

تجزیه خوشه‌ای

تنوع ژنتیکی

شبلیله

نشانه‌های مولکولی

از نشانگرهای مولکولی مبتنی بر DNA که برای اندازه‌گیری تنوع ژنتیکی در گونه‌های مختلف گیاهی نشانگرهای URP¹ می‌باشد که نخستین بار توسط Kang et al. (2002) معرفی و مورد استفاده قرار گرفتند. این نشانگرها توالی‌های تکراری هستند که از بانک ژنوم نوعی برنج بومی کره استخراج شده و برای انگشت‌نگاری از ژنوم‌های گیاهان و جانوران و میکروارگانیسم‌ها مورد استفاده قرار می‌گیرند. نشانگرهای URP تحت شرایط PCR مناسب، قادر به ارائه سطح بالایی از چندشکلی است. گزارش شده است این نشانگر یک ابزار مفید برای آنالیز فیلوژنتیکی در سطح درون گونه‌ای و بین گونه‌ای می‌باشد (Aggarwal et al. 2008). تاکنون آغازگرهای URP برای ارزیابی تنوع ژنتیکی گونه‌های قارچی *Chaetomium* (Aggarwal et al. 2008)، *Macrophomina Bipolaris sorokiniana* (Jana et al. 2005)، *pharolina* (Aggarwal et al. 2010)، *Tilletia indica* (Aggarwal et al. 2010)، جدایه‌های پنی‌سیلیوم از گلابی‌های چند ساله داخل انبار (Han et al. 2012)، *Oyster mushroom* (Kang et al. 2002) و بررسی روابط بین گونه‌ای کنجد (Salahlou et al. 2019) مورد استفاده قرار گرفته‌اند.

در دهه اخیر پیشرفت در ابزارهای بیوتکنولوژی منجر به ظهور انواعی از نشانگرهای مبتنی بر نواحی حفاظت شده ژنوم شده که چندشکلی مبتنی بر نقاط هدفمند ژنوم را نشان می‌دهند. نشانگرهای SCOT² از جمله نشانگرهای مولکولی نوظهور بوده که در سال ۲۰۰۹ توسط Collard and Mackill بر مبنی جایگاه ژنی کدون آغاز (ATG) طراحی و معرفی شد. آغازگرهای این نشانگر بر اساس توالی‌های توافقی مجاورت کدون آغاز طراحی می‌شوند و دارای طول ۱۸ نوکلئوتیدی می‌باشند. در واقع وجه تمایز آغازگرها در تفاوت حداقل یک نوکلئوتید در انتهای ۳' می‌باشد. استفاده از نشانگرهای SCOT در ارزیابی تنوع ژنتیکی و مطالعه روابط بین گونه‌ای در بسیاری از گونه‌های گیاهی گزارش شده است. به عنوان نمونه، Pour-Aboughadareh (2018) در ارزیابی روابط بین گونه‌ای و برآورد سطح تنوع ژنتیکی در گونه‌های ژرم‌پلاسمی گندم از ۱۵ آغازگر SCOT استفاده نمودند و

شنبلیله با نام علمی *Trigonella foenum-graecum* L. یکساله و متعلق به خانواده بقولات است که برگ و بذر آن دارای خواص دارویی با ارزشی می‌باشد و از دیرباز در ایران مورد کشت قرار گرفته است. این گیاه دارای ارزش غذایی بالا و حاوی موادی همچون کلسیم، آهن، فسفر، ویتامین C، کاروتن و همچنین میزان زیادی پروتئین می‌باشد (Omidbaigi 2004). بذرهای شنبلیله حاوی موادی نظیر کولین، آلکالوئید، ساپونین و تریگونلین بوده که نقش مؤثری در کاهش قند خون دارند (Sandor et al. 2004). منشأ این گیاه نواحی آفریقای شمالی و سواحل شرقی مدیترانه گزارش شده است. به طوری که بر اساس گزارشات موجود این گیاه در آغاز بومی ایران بوده و سپس به دیگر مناطق مختلف منتقل شده است. به طور کلی نواحی از هند، چین، آفریقا، الجزیره، پاکستان، اسپانیا، ترکیه، مصر، اوکراین و ایتالیا محل پراکنش این گیاه مشخص شده است (Hasanzadeh et al. 2010). گسترده‌گی نواحی پراکنش این گیاه سبب شده است تا گوناگونی و یا به عبارتی میزان تنوع ژنتیکی بالایی در بین گونه‌های آن وجود داشته باشد. با توجه به اینکه شناسایی توده‌های مختلف یکی از مهم‌ترین اقدامات مهم در زمینه بهبود ژنتیکی و افزایش سطح زیر کشت گیاهان زراعی و باغی می‌باشد، از این رو بررسی تنوع ژنتیکی به عنوان پایه و اساس برنامه‌های اصلاحی شناخته شده است (Farsi and Zolali 2011).

نشانگرهای مولکولی به عنوان یکی از مهم‌ترین ابزارهای اصلی در ارزیابی تنوع ژنتیکی در گونه‌های مختلف گیاهی و جانوری شناخته شده‌اند. پیشرفت تکنولوژی در حوزه‌های زیست فناوری در تمامی حوزه‌های زیستی سبب شده است تا امروزه انواعی از این ابزارهای ژنتیکی توسعه و مورد استفاده قرار گیرند. تاکنون انواع مختلفی از نشانگرهای مولکولی مبتنی بر DNA مانند RAPD¹، AFLP²، JSSR³، SSR⁴، STS⁵ و غیره معرفی شده است که هر یک نسبت به هم دارای معایب و مزایایی هستند. یکی

¹ Random amplification of polymorphic DNA

² Amplified fragment length polymorphism

³ Inter simple sequence repeat

⁴ Simple sequence repeat

⁵ Sequence-Tagged Site

⁶ Universal rice primer

⁷ Start codon targeted polymorphism

T. anguina, *T. stellata*, *T. persica*, *T. uncatu monspeliaca* و *T. aurantiaca* بودند. پس از کشت بذور هر یک از اکوتیپ‌ها در شرایط گلخانه و تولید گیاهچه، استخراج DNA ژنومی از برگ‌های جوان بر اساس روش CTAB انجام شد (Doyle and Doyle 1987). پس از استخراج DNA ژنومی کیفیت آن با استفاده الکتروفورز ژل آگارز ۰/۸ درصد مورد بررسی قرار گرفت. به منظور بررسی تنوع ژنتیکی از ۱۰ آغازگر SCoT و ۱۰ آغازگر URP استفاده و توالی آن‌ها در جدول ۱ درج شده است. پس از بهینه سازی شرایط تکثیر و تعیین دمای اتصال آغازگرها، واکنش PCR با استفاده دستگاه ترموسایکلر BIO RAD مدل T100 انجام شد. نشانگرهای SCoT و URP به ترتیب براساس توالی‌های ارائه شده توسط Collard and Mackill (2009) و Kang et al. (2002) طراحی شدند. مخلوط واکنش در حجم نهایی ۲۰ میکرولیتر، شامل ۲ میکرولیتر DNA ژنومی با غلظت نهایی ۵۰ نانوگرم، ۲ میکرولیتر آغازگر (۱۰ پیکومول بر میکرولیتر)، ۶ میکرولیتر آب دیونیزه و ۱۰ میکرولیتر PCR master Mix (2X) بود. کلیه واکنش‌های تکثیر در برنامه دمایی هر واکنش شامل یک مرحله واسرشته‌سازی اولیه در دمای ۹۴ درجه سانتی‌گراد به مدت ۴ دقیقه و ۱۰ چرخه حرارتی شامل واسرشته‌سازی به مدت ۳۰ ثانیه در دمای ۹۴ درجه سانتی‌گراد، اتصال آغازگر به مدت ۴۵ ثانیه در دمای بهینه شده برای هر آغازگر، توسعه آغازگر به مدت ۲ دقیقه در دمای ۷۲ درجه سانتی‌گراد، ۲۵ چرخه حرارتی دیگر شامل واسرشته‌سازی به مدت ۳۰ ثانیه در دمای ۹۴ درجه سانتی‌گراد، اتصال آغازگر به مدت ۴۵ ثانیه در دمای بهینه شده برای هر آغازگر، توسعه آغازگر به مدت ۲ دقیقه در دمای ۷۲ درجه سانتی‌گراد و بسط نهایی به مدت ۷ دقیقه در دمای ۷۲ درجه سانتی‌گراد بود.

پس از انجام واکنش تکثیر، محصول PCR با الکتروفورز بر روی ژل آگارز ۱/۵ درصد تفکیک و رنگ‌آمیزی ژل‌ها با Safeview انجام و عکس‌برداری از آن‌ها صورت گرفت. پس از امتیازدهی الگوی قطعات تکثیری براساس معیار یک (وجود باند) و صفر (عدم وجود باند)، مقادیر محتوای چندشکلی (PIC: polymorphism information content)، قدرت تمایز (Rp: resolving power) و شاخص نشانگر (MI: marker index) برای

نتایج پژوهش آن‌ها نشان داد این نشانگرها قادرند نمونه‌های مربوط به هر گونه را بر اساس ساختار ژنومی آن‌ها در گروه‌های مجزا از هم تفکیک کنند. در مطالعه‌ای دیگر Etmninan et al. (2018) به منظور بررسی روابط فیلوژنتیکی بین گونه‌های مختلف مریم گلی از مجموعه‌ای از آغازگرهای SCoT و ISSR استفاده کردند. این محققان نشان دادند سودمندی آغازگرهای SCoT نسبت به ISSR در گروه‌بندی نمونه‌های ارزیابی شده بیشتر است. به طور کلی کارایی این نشانگرها در بسیاری از مطالعات دیگر گزارش شده است (Collard and Mackill 2009; Gorji et al. 2011; Pour-Aboughadareh et al. 2017; Etmninan et al. 2019; Qaderi et al. 2018).

بررسی منابع موجود نشان می‌دهد گزارشات محدودی در رابطه با استفاده از نشانگرهای مولکولی در بررسی تنوع ژنتیکی شبلیله وجود دارد. به عنوان مثال، Dangi et al. (2004) با بررسی تنوع ژنتیکی ۲۶ ژنوتیپ از دو گونه *T. caerulea* و *T. foenum-graecum* با استفاده از نشانگرهای ISSR و RAPD نشان دادند میزان تنوع ژنتیکی در گونه *T. caerulea* نسبت به گونه دیگر بیشتر است. (Moradi 2008) در ارزیابی تنوع ژنتیکی موجود در بیست توده شبلیله بومی مناطق مختلف کشور از نشانگرهای RAPD استفاده نمود و اظهار داشت تنوع مطلوبی در بین توده‌های مورد بررسی وجود دارد. (Ahari 2014) نیز از نشانگرهای AFLP برای بررسی تنوع ژنتیکی توده‌های شبلیله بومی ایران استفاده کردند و نتایج آن‌ها مشابه سایر گزارشات موجود سطح بالایی از تنوع مولکولی را نشان داد. با توجه به اینکه شناسایی تخمین برآورد تنوع ژنتیکی گامی مهم در جهت تهیه و تدوین برنامه‌های به‌نژادی به‌شمار می‌آید، از این‌رو هدف از این پژوهش ارزیابی تنوع ژنتیکی و تعیین میزان خویشاوندی بین اکوتیپ‌های مختلف شبلیله با استفاده از نشانگرهای SCoT و URP بود.

مواد و روش‌ها

مواد گیاهی مورد مطالعه در این تحقیق شامل ۹۰ اکوتیپ شبلیله به ترتیب متشکل از ۵۰، ۱۰، ۱۰، ۶، ۵، ۳، ۳ و ۳ اکوتیپ متعلق به گونه‌های *T. foenum-graecum*، *T. monantha*، *T.*

میانگین ۱۰ قطعه متغیر بود. میانگین شاخص PIC برابر با ۰/۳۴ و دو آغازگر SCoT-5 و SCoT-10 به ترتیب با مقادیر ۰/۲۰ و ۰/۴۴ نسبت به سایر آغازگرها به ترتیب دارای بیشترین و کمترین میزان اطلاعات چندشکل بودند. شاخص PIC یکی از مهم‌ترین معیارهای تعیین کننده کارایی سیستم‌های نشانگری است که قدرت تمایز نمونه‌های مورد بررسی را نشان می‌دهند (Powell et al. 1996). در واقع این شاخص احتمال تشخیص چندشکلی ایجاد شده توسط یک آغازگر بین دو فرد می‌باشد که به تعداد آلل‌های قابل تشخیص و فراوانی آن‌ها وابسته است. از این رو با توجه به نتایج به دست آمده مشخص شد آغازگرهای SCoT-10، SCoT-8 و SCoT-15 قابلیت ویژه‌ای در تمایز اکتیپ‌های مورد بررسی دارند. شاخص Rp نیز توانایی یک سیستم نشانگری را در ایجاد قطعات قابل امتیازدهی تعیین می‌کند.

هر آغازگر محاسبه شد. برای محاسبه تجزیه واریانس مولکولی (AMOVA) و برآورد شاخص‌های تنوع ژنتیکی از نرم‌افزار GenAlEx استفاده شد (Peakall and Smouse 2006). مقادیر فواصل ژنتیکی بین جفت نمونه‌ها بر اساس ضریب فاصله جاکارد محاسبه و به منظور گروه‌بندی نمونه‌ها، تجزیه خوشه‌ای با استفاده از نرم‌افزار MEGA ver. 5 صورت گرفت (Tamura et al. 2011).

نتایج و بحث

بررسی الگوی بانندی به دست آمده از نشانگرهای SCoT نشان داد ۱۰ آغازگر استفاده شده در این پژوهش در مجموع ۱۰۰ قطعه تکثیر نمودند که تمامی آن‌ها چندشکل بودند (جدول ۱). تعداد قطعات تکثیری چندشکل بین ۶ (SCoT-9) و ۱۳ (SCoT-26) با

جدول ۱- شاخص‌های ژنتیکی آغازگرهای SCoT و URP استفاده شده در ارزیابی اکتیپ‌های شنبله

Rp	MI	PIC	NPB	TAB	توالی (۵' به ۳')	آغازگر
۷/۷۶	۳/۶۵	۰/۳۳	۱۱	۱۱	CAACAATGGCTACCACCT	SCoT-4
۱۰/۰۴	۲/۱۸	۰/۲۰	۱۱	۱۱	CAACAATGGCTACCACGA	SCoT-5
۸/۴۷	۳/۴۵	۰/۴۳	۸	۸	CAACAATGGCTACCACGT	SCoT-8
۵/۴۰	۱/۸۵	۰/۳۱	۶	۶	CAACAATGGCTACCAGCA	SCoT-9
۵/۵۶	۳/۲۴	۰/۴۱	۸	۸	ACGACATGGCGACCGCGA	SCoT-15
۱۰/۲۹	۳/۰۶	۰/۲۸	۱۱	۱۱	CCATGGCTACCACCGCCA	SCoT-24
۱۴/۸۹	۴/۳۹	۰/۳۴	۱۳	۱۳	ACAATGGCTACCACCATC	SCoT-26
۹/۷۸	۳/۳۵	۰/۳۴	۱۰	۱۰	AAGCAATGGCTACCACCA	SCoT-11
۶/۹۸	۴/۳۴	۰/۳۹	۱۱	۱۱	ACGACATGGCGACCAACG	SCoT-12
۱۲/۵۳	۴/۸۲	۰/۴۴	۱۱	۱۱	CAACAATGGCTACCAGCC	SCoT-10
۹/۱۶	۳/۴۳	۰/۳۴	۱۰	۱۰	میانگین	
۱۲/۴۰	۵/۴۲	۰/۴۵	۱۲	۱۲	ATCCAAGGTCCGAGACAACC	URP-1
۱۱/۱۸	۴/۲۳	۰/۴۲	۱۰	۱۰	CCCAGCAACTGATCGCACAC	URP-3
۸/۶۰	۴/۱۵	۰/۳۸	۱۱	۱۱	AGGACTCGATAACAGGCTCC	URP-4
۱۲/۲۹	۳/۸۱	۰/۳۵	۱۱	۱۱	ATGTGTGCGATCAGTTGCTG	URP-6
۶	۲/۴۷	۰/۳۱	۸	۸	GATGTGTCTTGGAGCCTGT	URP-11
۱۲/۱۸	۲/۷۰	۰/۲۵	۱۱	۱۱	GGACAAGAAGAGGATGTGGA	URP-12
۱۲/۸۴	۳/۸۲	۰/۳۵	۱۱	۱۱	AAGAGGCATTCTACCACCAC	URP-13
۱۵/۶۹	۲/۸۸	۰/۲۶	۱۱	۱۱	AATGTGGGCAAGCTGGTGGT	URP-14
۱۳/۳۳	۴/۵۰	۰/۳۷	۱۲	۱۲	TACACGTCTCGATCTACAGG	URP-15
۱۳/۵۳	۳/۲۹	۰/۳۰	۱۱	۱۱	GGCAAGCTGGTGGGAGGTAC	URP-18
۱۱/۸۰	۳/۷۳	۰/۳۴	۱۰/۸۰	۱۰/۸۰	میانگین	

TAB: تعداد کل قطعات تکثیری، NPB: تعداد قطعات تکثیری چندشکل، PIC: محتوای اطلاعات چندشکل، Rp: قدرت تمایز، و MI: شاخص نشانگر.

Rp بود. شاخص MI نیز دارای میانگین $3/73$ بود. از نظر این شاخص دو آغازگر URP-11 و URP-1 با مقادیر $2/47$ و $5/42$ به ترتیب دارای کمترین و بیشترین مقدار MI بود. مقایسه میانگین شاخص‌های تعیین کننده کارایی آغازگرهای مربوط به هر نشانگر نشان داد هر دو سیستم نشانگری تقریباً دارای کارایی یکسانی در ارائه چندشکلی بین اکوتیپ‌های بررسی شده هستند. میانگین شاخص‌های Rp و MI نشانگرهای URP نسبت به SCoT تا حدودی بیشتر بود که دلیل این تفاوت جزئی می‌تواند به قطعات تکثیری بیشتر توسط آغازگرهای مربوط به این نشانگر باشد. اگرچه تعداد قطعات تکثیری توسط هر آغازگر و میانگین این شاخص در نشانگرهای SCoT نسبت به URP کمتر بود با این حال میانگین شاخص PIC این دو سیستم یکسان بود که این نتیجه می‌تواند به مکانیسم عمل نشانگرهای SCoT برگردد، زیرا این نشانگرها مبتنی بر نواحی هدف عمل کرده و چندشکلی موجود در این نواحی کدون آغاز را نشان می‌دهد و از طرفی معمولاً تمامی قطعات تکثیری توسط آغازگرهای این نشانگر چندشکل هستند (Ahmadi et al. 2019).

جهت بررسی میزان تنوع ژنتیکی بین و درون اکوتیپ‌های ارزیابی شده تجزیه واریانس مولکولی (AMOVA) انجام و نتایج آن در جدول ۲ ارائه شده است. همان‌گونه که مشاهده می‌شود بر اساس هر یک از نشانگرها و ترکیب داده‌های به دست آمده از آن‌ها میزان واریانس درون جمعیتی نسبت به بین جمعیتی به مراتب بیشتر بود، به عبارت دیگر بیشترین میزان تنوع ژنتیکی مربوط به نمونه‌های موجود در هر جمعیت بود.

با این حال، Prevost and Wilkinson (1999) بیان کردند این شاخص نمی‌تواند اطلاعاتی درباره توانایی یک آغازگر در بازتاب روابط ژنتیکی با تاکسونومی یک گروه ژنوتیپ تحت مطالعه را فراهم کند. با توجه به نتایج مندرج در جدول ۱ متوسط شاخص Rp با میانگین $9/16$ بین $5/40$ (مربوط به آغازگر SCoT-9) و $14/89$ (مربوط به آغازگر SCoT-26) متغیر بود.

علاوه بر این، دو آغازگر SCoT-10 و SCoT-9 به ترتیب بیشترین و کمترین مقادیر MI را به خود اختصاص دادند. با توجه به نتایج به دست آمده مشخص شد بین دو شاخص Rp و MI رابطه مستقیمی دارد به طوری که پیش از این (Milbourne et al. 1997) گزارش دادند زیاد بودن مقادیر این دو شاخص نشان دهنده تولید تعداد بیشتری قطعات چندشکل و فراهم کردن اطلاعات بیشتری از ژنوم است. در این رابطه نیز به عنوان مثال آغازگر SCoT-9 دارای کمترین مقدار هر دو شاخص بودند و در مقابل دو آغازگر SCoT-10 و SCoT-26 دارای بیشترین مقادیر Rp و MI بودند. همان‌گونه که در جدول ۱ مشاهده می‌شود، ۱۰ آغازگر URP در مجموع ۱۰۹ قطعه در ۹۰ اکوتیپ مورد بررسی تکثیر نمودند که تمامی قطعات چندشکل بودند. تعداد قطعات چندشکل تکثیر شده توسط آغازگرهای URP-11 (۸ قطعه) و URP-1 و URP-15 (۱۲ قطعه) به ترتیب کمترین و بیشترین تعداد قطعات چندشکل را تکثیر نمودند. شاخص PIC بین $0/25$ و $0/45$ با میانگین $0/34$ متغیر بود. آغازگرهای URP-1، URP-3 و URP-4 نسبت به سایر آغازگرها دارای بیشترین مقدار PIC بودند. میانگین شاخص Rp برابر $11/80$ بود و آغازگر URP-14 بیشترین مقدار آن را به خود اختصاص دادند و در مقابل آغازگر URP-11 دارای کمترین مقدار

جدول ۲- تجزیه واریانس مولکولی (AMOVA) بین جمعیت‌های شنبله بر اساس نشانگرهای URP و SCoT

منابع تغییر	درجه آزادی	مجموع مربعات	میانگین مربعات	واریانس تخمین زده شده	واریانس کل
بین جمعیت‌ها	۷	۴۷۹/۷۶	۶۸/۵۳	۶/۵۸	۳۴/۳۴
درون جمعیت‌ها	۸۲	۱۰۶۵/۷۴	۱۲/۹۹	۱۲/۹۹	۶۶/۶۶
بین جمعیت‌ها	۷	۴۸۹/۱۹	۶۹/۸۸	۶/۵۷	۳۱/۳۱
درون جمعیت‌ها	۸۲	۱۱۸۷/۷۰	۱۴/۴۸	۱۴/۸۴	۶۹/۶۹
بین جمعیت‌ها	۷	۹۶۸/۹۵	۱۳۸/۴۲	۱۳/۱۶	۳۲/۳۲
درون جمعیت‌ها	۸۲	۲۲۵۳/۴۴	۲۷/۴۸	۲۷/۴۸	۶۸/۶۸

داده‌های به‌دست آمده از آن‌ها برآورد و نتایج آن در جدول ۳ ذکر شده است. با توجه به نتایج به‌دست آمده مشخص شد براساس نشانگرهای SCoT، URP و SCoT+URP جمعیت *T. monantha* از نظر کلیه پارامترهای تنوع ژنتیکی نسبت به سایر جمعیت‌های دیگر دارای مقادیر بیشتری بود. گونه *T. monantha* جز خویشاوندان وحشی شنبلیله بوده و دارای خواص دارویی بسیاری است به طوری که برای بیماران دیابتی بسیار مؤثر و مفید می‌باشد و باعث کاهش قند خواهد شد (Asghari Lalemi et al. 2013).

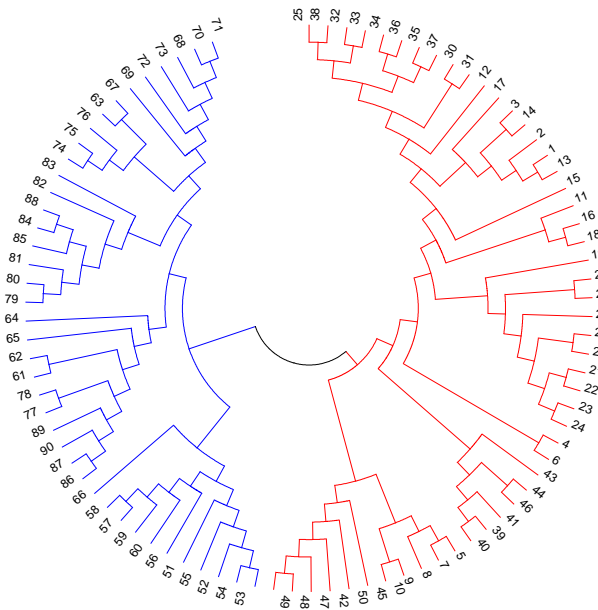
بالا بودن میزان واریانس درون جمعیتی نسبت به بین جمعیتی بیانگر وجود سطح بالایی از تنوع و اختلاف ژنتیکی افراد درون آن جمعیت می‌باشد که به نوبه خود این تنوع می‌تواند شانس دستیابی به آلل‌های و یا ژن‌های جدید را بالا ببرد که این خود می‌تواند در مدیریت منابع ژنتیکی و استفاده از آن‌ها در اصلاح جمعیت‌ها و تولید ژنوتیپ‌ها جدید اصلاحی مؤثر باشد. به‌منظور ارزیابی دقیق‌تر میزان تنوع درون جمعیتی، برخی از پارامترهای تنوع ژنتیکی بر اساس هر یک از نشانگرها و همچنین ترکیب

جدول ۳- مقادیر برآورده شده پارامترهای ژنتیکی در جمعیت‌های شنبلیله

نشانگر	جمعیت	تعداد نمونه	Na	Ne	I	H	PPL
SCoT	<i>T. anguina</i>	۳	۰/۶۱	۱/۱۰	۰/۰۹	۰/۰۶	۱۵
	<i>T. aurantiaca</i>	۳	۰/۷۰	۱/۰۸	۰/۰۷	۰/۰۴	۱۲
	<i>T. Foenum-graecum</i>	۵۰	۱/۷۳	۱/۴۳	۰/۳۹	۰/۲۶	۸۵
	<i>T. monantha</i>	۱۰	۱/۸۰	۱/۵۶	۰/۴۷	۰/۳۲	۸۵
	<i>T. monspeliaca</i>	۱۰	۱/۳۶	۱/۴۰	۰/۳۴	۰/۲۳	۶۴
	<i>T. persica</i>	۵	۱/۳۸	۱/۳۵	۰/۳۲	۰/۲۱	۶۱
	<i>T. stellate</i>	۳	۱/۰۵	۱/۲۴	۰/۲۱	۰/۱۴	۳۷
	<i>T. uncata</i>	۶	۱/۳۸	۱/۳۶	۰/۳۲	۰/۲۱	۶۰
میانگین							
URP	<i>T. anguina</i>	۳	۰/۷۶	۱/۰۶	۰/۰۶	۰/۰۴	۱۱/۰۱
	<i>T. aurantiaca</i>	۳	۰/۷۲	۱/۰۸	۰/۰۶	۰/۰۴	۱۰/۰۹
	<i>T. Foenum-graecum</i>	۵۰	۱/۷۵	۱/۵۲	۰/۴۴	۰/۲۹	۸۴/۴۰
	<i>T. monantha</i>	۱۰	۱/۷۶	۱/۶۲	۰/۵۱	۰/۳۵	۸۶/۲۴
	<i>T. monspeliaca</i>	۱۰	۱/۶۱	۱/۴۵	۰/۳۹	۰/۲۶	۷۶/۱۵
	<i>T. persica</i>	۵	۱/۳۷	۱/۴۱	۰/۳۴	۰/۲۳	۵۷/۸۰
	<i>T. stellate</i>	۳	۰/۹۹	۱/۲۴	۰/۱۹	۰/۱۳	۳۰/۲۸
	<i>T. uncata</i>	۶	۱/۳۹	۱/۳۴	۰/۳۱	۰/۲۰	۵۷/۸۰
میانگین							
SCoT + URP	<i>T. anguina</i>	۳	۰/۶۹	۱/۰۸	۰/۰۷	۰/۰۵	۱۲/۹۲
	<i>T. aurantiaca</i>	۳	۰/۷۱	۱/۰۸	۰/۰۶	۰/۰۴	۱۱
	<i>T. Foenum-graecum</i>	۵۰	۱/۷۴	۱/۴۷	۰/۴۲	۰/۲۸	۸۴/۶۹
	<i>T. monantha</i>	۱۰	۱/۷۸	۱/۵۹	۰/۴۹	۰/۳۳	۸۵/۶۵
	<i>T. monspeliaca</i>	۱۰	۱/۴۸	۱/۴۳	۰/۳۷	۰/۲۵	۷۰/۳۳
	<i>T. persica</i>	۵	۱/۳۷	۱/۳۸	۰/۳۳	۰/۲۲	۵۹/۳۳
	<i>T. stellate</i>	۳	۱/۰۲	۱/۲۴	۰/۱۹	۰/۱۳	۳۳/۴۹
	<i>T. uncata</i>	۶	۱/۳۸	۱/۳۵	۰/۳۱	۰/۲۱	۵۸/۸۵
میانگین							
۵۲/۰۳							

Na, Ne, I, H و PPL به ترتیب نشان دهنده تعداد آلل‌های مشاهده شده، تعداد آلل‌های مؤثر، شاخص شانون، شاخص تنوع ژنی نی، و درصد جایگاه‌های ژنی چندشکل می‌باشند.

اکوتیپ‌های *T. persica* نیز در یک زیر گروه فرعی قرار گرفتند. تعداد نه اکوتیپ از ۱۰ اکوتیپ گونه *T. monspeliaca* به همراه یک اکوتیپ از سه اکوتیپ گونه‌های *T. anguina* و *T. stellata* در یک زیر گروه فرعی قرار گرفتند. همچنین یکی از اکوتیپ‌های گونه *T. monspeliaca* به تنهایی در یک زیر گروه فرعی از گروه دوم قرار گرفت (شکل ۱).



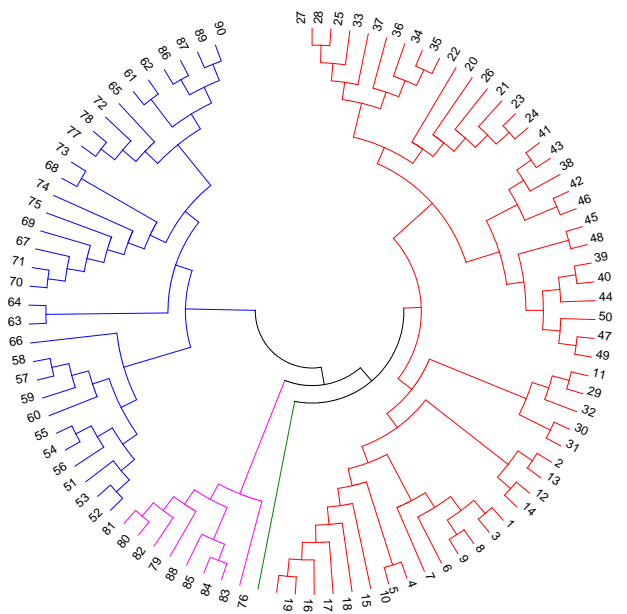
شکل ۱- دندروگرام حاصل از تجزیه خوشه‌ای ۹۰ اکوتیپ شنبلیله براساس داده‌های نشانگر SCoT.

بر اساس نشانگرهای URP نیز کلیه اکوتیپ‌های مورد بررسی در چهار گروه اصلی تفکیک شدند. گروه اول شامل تمامی اکوتیپ‌های مربوط به گونه *T. foenum-graecum* بود. یکی از اکوتیپ‌های گونه *T. monspeliaca* به تنهایی در گروه دوم قرار گرفت. گروه سوم نیز در برگیرنده هر سه اکوتیپ مربوط به گونه *T. aurantiaca* و تمام اکوتیپ‌های *T. persica* بود. گروه چهارم شامل سایر اکوتیپ‌های مربوط به دیگر گونه‌ها بود (شکل ۲). تجزیه خوشه‌ای بر اساس ترکیب داده‌های SCoT و URP الگوی گروه‌بندی بسیار جامع‌تری را نشان داد. همان‌گونه که در شکل ۳ مشاهده می‌شود، ۹۰ اکوتیپ شنبلیله در ۴ گروه اصلی جای گرفتند. گروه اول به صورت کاملاً مجزا در برگیرنده تمامی اکوتیپ‌های *T. foenum-graecum* بود. مشابه با نشانگر URP،

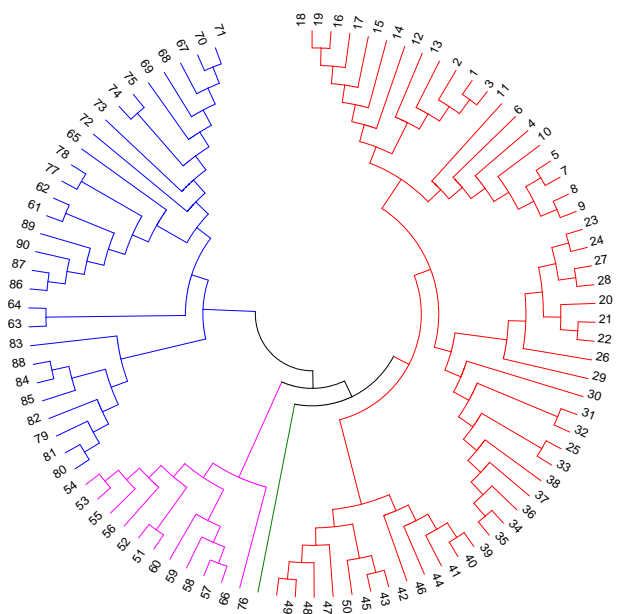
در رابطه با میزان تنوع ژنتیکی موجود در این گونه مطالعات مختلفی بر اساس نشانگرهای مورفولوژیکی نیز صورت گرفته است که نتایج آن‌ها بیانگر وجود سطح بالایی از تنوع ژنتیکی درون این گونه می‌باشد. به عنوان نمونه، (Esamaeilnejad 2019) Hasaroeih et al. با ارزیابی ۴۰ اکوتیپ از این گونه با نشانگرهای مورفولوژیکی استفاده کردند و نتایج آن‌ها نشان داد از نظر تعداد برگ، تعداد گل، وزن هزار دانه، رنگ دانه و سایر صفات کمی و کیفی تنوع بالایی در بین اکوتیپ‌های بررسی شده وجود دارد. (Asghari Lalami et al. 2013) نیز تنوع ژنتیکی موجود در ۱۵ اکوتیپ *T. monantha* را با استفاده از ۳۰ صفت مورفولوژیکی و فیتوشیمیایی ارزیابی کردند و نشان دادند سطح بالایی از تنوع در بین اکوتیپ‌های بررسی شده وجود داشت. علاوه بر این گونه، *T. foenum-graecum* دیگر گونه‌ای بود که دارای بیشترین میزان تنوع ژنتیکی بود. (Dangi et al. 2004) نیز با استفاده از نشانگرهای RAPD و ISSR سطح بالایی از تنوع ژنتیکی را درون اکوتیپ‌های این گونه گزارش کردند. نتایج مطالعه (Ahari et al. 2014) نیز نشان از وجود سطح بالایی از تنوع مولکولی در این گونه از شنبلیله بود. به طور کلی از این رو، نتایج این پژوهش با سایر نتایج به دست آمده در ارتباط با تنوع ژنتیکی مطابقت نشان داد.

گروه‌بندی اکوتیپ‌های مورد مطالعه با استفاده از تجزیه خوشه‌ای و بر مبنای ضرایب تشابه ژنتیکی جاکارد انجام شد. دندروگرام به دست آمده از ماتریس ضرایب تشابه ژنتیکی از نشانگرهای SCoT نشان داد ۹۰ اکوتیپ بررسی شده در دو گروه اصلی گروه‌بندی شدند. گروه اول خود به دو زیر گروه تفکیک شده است که تمامی ۵۰ اکوتیپ از گونه *T. foenum-graecum* می‌باشد که در این گروه قرار گرفتند. گروه دوم شامل دو زیر گروه اصلی بود که تمامی ۱۰ اکوتیپ از گونه *T. monantha* در اولین زیر گروه در این گروه قرار گرفتند. زیر گروه دوم از گروه دوم شامل چندین زیر گروه بود که اکوتیپ‌های گونه *T. uncata* به همراه دو اکوتیپ از سه اکوتیپ گونه *T. stellate* و دو اکوتیپ از سه اکوتیپ گونه *T. anguina* در یک زیر گروه فرعی قرار گرفتند. هر سه اکوتیپ مربوط به گونه *T. aurantiaca* و تمام

SCoT نسبت به URP در ارائه چندشکلی بالاتر و تفکیک بهتر گونه‌های مختلف از یکدیگر از دیگر نتایج قابل توجه به دست آمده از تحقیق بود.



شکل ۲- دندروگرام حاصل از تجزیه خوشه‌ای ۹۰ اکتیپ شبلیله براساس داده‌های نشانگر URP.



شکل ۳- دندروگرام حاصل از تجزیه خوشه‌ای ۹۰ اکتیپ شبلیله براساس ترکیب داده‌های نشانگر SCoT و URP.

یکی از اکتیپ‌های گونه *T. monspeliaca* به تنهایی در گروه دوم قرار گرفت. گروه سوم شامل اکتیپ‌های گونه *T. monantha* بود. سایر اکتیپ‌های دیگر در گروه چهارم قرار گرفتند. با بررسی نحوه قرارگیری اکتیپ‌ها در سایر گروه‌های مختلف در این گروه مشخص شد اکتیپ‌های مربوط به هر گونه به صورت کاملاً مجزا در کنار هم و در یک زیر گروه جداگانه از سایر اکتیپ‌ها متمایز شدند. با بررسی روند توزیع و گروه‌بندی نمونه‌های بررسی شده مشخص است که نشانگرهای SCoT نسبت به URP دارای قابلیت بالاتری از تفکیک نمونه‌ها بر اساس واحدهای تاکسونومی می‌باشد. با این حال زمانی که داده‌های به دست آمده از این نشانگر با نشانگرهای URP ترکیب شده قدرت تمایزی آن بیشتر شده و در نهایت منجر به گروه‌بندی کاملاً مشخصی بر اساس هر گونه شده است. در واقع با توجه به این نتایج می‌توان اظهار داشت قدرت ترکیب‌پذیری نشانگرهای SCoT با سایر نشانگرهای مولکولی بالا بوده و خود نشان‌دهنده توانایی و کارایی بالایی آغازگرهای SCoT جهت استفاده از آنها در برنامه‌های ژنتیکی همچون اشباع نقشه‌های ژنتیکی، تجزیه ارتباطی و غیره می‌باشد. پیش از این در بسیاری از مطالعات قبلی نیز به قابلیت نشانگرهای SCoT در تفکیک نمونه‌های مختلف بر اساس ساختارهای ژنومی و واحدهای تاکسونومی آنها اشاره شده است (Daneshmand et al. 2017; Pour-Aboughadareh et al. 2017; Pour-Aboughadareh 2018; Etminan et al. 2018; Qaderi et al. 2019).

نتیجه‌گیری کلی

با توجه به نتایج به دست آمده از این تحقیق مشخص شده سطح بالایی از تنوع ژنتیکی درون جمعیت‌های شبلیله وجود دارد به طوری که این تنوع می‌تواند به عنوان سنگ بنای اولیه برای برنامه‌های پیش به نژادی و ایجاد جمعیت‌های پایه برای اصلاح و یا بهبود ارقام زراعی آن مورد توجه و استفاده قرار گیرد. از دیگر نتایج به دست آمده از این پژوهش وجود تنوع درون گونه‌ای بالا در گونه *T. foenum-graecum* و *T. monantha* اشاره کرد که با توجه به دارا بودن خواص دارویی آنها می‌تواند به عنوان منبع ژنی برای جستجوی ژن‌ها و حتی آلل‌های مؤثر در افزایش تولید متابولیت‌های ثانویه در نظر گرفته شوند. قابلیت بهتر نشانگرهای

منابع

- Aggarwal R, Sharma V, Kharbikar LL (2008) Molecular characterization of *Chaetomium* species using URP-PCR. *Genetics and Molecular Biology* 31:943-946.
- Aggarwal R, Singh VB, Shukla R, Gurjar MS, Gupta S, Sharma TR (2010) URP-based DNA fingerprinting of *Bipolaris sorokiniana* isolates causing spot blotch of wheat. *Journal of Phytopathology* 158:210-216.
- Ahari DS, Hassandokht MR, Kashi AK, Amri A (2014) Evaluation of genetic diversity in Iranian fenugreek (*Trigonella foenum-graecum*) landraces using AFLP markers. *Seed and Plant Improvement Journal* 30:155-171.
- Ahmadi J, Fabriki-Ourang S, Pour-Aboughadareh A (2019) Evaluation of genetic diversity in *Aegilops* populations possessing D genome using SCoT and TRAP markers. *Modern Genetic Journal* 14:219-228.
- Asghari Lalemi S, Naghavi MR, Miri SM (2013) Morphological and trigonellin study of seven ecotypes of *Trigonella monantha* ssp. *noeana* in Iran. pp. 240. In: *Proceedings of 1st National Conference of Medicinal Plants and Agriculture*. Hamedan.
- Collard BCY, Mackill DJ (2009) Start codon targeted (SCoT) polymorphism: a simple, novel DNA marker technique for generating gene-targeted markers in plants. *Plant Molecular Biology Reporter* 27:86-93.
- Daneshmand H, Etminan AR, Qaderi A (2017) Diversity evaluation of *Trigonella foenum-graecum* populations using DNA markers and phytochemical characteristics. *Journal of Medicinal Plants* 63.
- Dangi R, Lagu MD, Choudhary LB, Ranjekar P, Gupta VS (2004) Assessment of genetic diversity in *Trigonella foenu-graecum* and *Trigonella caerulea* using ISSR and RAPD markers. *BMC Plant Biology* 4:13.
- Doyle JJ, Doyle JL (1987) A rapid DNA isolation procedure for small quantities of fresh leaf tissue. *Phytochemical Bulletin* 19:11-15.
- Esamaeilnejad N, Ghanavati F, Moradi F, Abbasi Kohpalkani, Rahimizadeh M (2019) Genetic diversity in wild ecotypes of fenugreek (*Trigonella monantha* C. A. Mey.) based on morphological traits. *Seed and Plant Improvement Journal* 2:211-239.
- Etminan A, Pour-Aboughadareh A, Noori A, Ahmadi Rad A, Shoostari L, Mahdavian Z, Yousefiazar-Khanian M (2018) Genetic relationships and diversity among wild *Salvia* accessions revealed by ISSR and SCoT markers. *Biotechnology & Biotechnological Equipment* 32:610-617.
- Farsi M, Zolali J (2011) *Principles of Plant Biotechnology*. Publications University of Mashhad.
- Gorji AM, Poczai P, Polgar Z, Taller J (2011) Efficiency of arbitrarily amplified dominant markers (SCoT, ISSR and RAPD) for diagnostic fingerprinting in tetraploid potato. *American Journal of Potato Research* 88:226-237.
- Han DS, Hong SK, Kang HW (2012) Genetic diversity of *Penicillium* isolates isolated from pears with postharvest decay in storage. *The Korean Journal of Mycology* 40:11-18.
- Hasanzadeh E, Rezazadeh S, Shamsa S, Dolatabadi R, Zarringhalam J (2010) Review on phytochemistry and Therapeutic properties of Fenugreek (*Trigonella foenum-graecum*). *Journal of Medicinal Plants* 9:1-18.
- Jana TK, Singh NK, Koundal KR, Sharma TR (2005) Genetic differentiation of charcoal rot pathogen, *Macrophomina phaseolina*, into specific groups using URPPCR. *Canadian Journal of Microbiology* 51:159-164.
- Kang HW, Park DS, Go SJ, Eun MY (2002) Fingerprinting of diverse genomes using PCR with universal rice primers generated from repetitive sequence of Korean weedy rice. *Molecules and Cells* 13:281-7.
- Kang HW, Park DS, Go SJ, Eun MY (2002) Fingerprinting of diverse genomes using PCR with universal rice primers generated from repetitive sequence of Korean weedy rice. *Molecules and Cells* 13:281-287.
- Milbourne D, Meyer R, Bradshaw JE, Baird EM Nonar N, Provan J, Powell, Waugh R (1997) Comparison of PCR-based marker systems for the analysis of genetic relationships in cultivated potato. *Molecular Breeding* 3:127-136.
- Moradi P (2008) Study on genetic diversity of Iranian fenugreek (*Trigonella foenum-graecum* L.) landraces. Ph. D. thesis. Sciences and Research Branch, Islamic Azad University. Tehran, Iran.
- Omid baigi, R (2004) Production and processing of medicinal plants. Astane Ghodse Razavi Publication. No: 149-Vol: 3-P: 397. (In Farsi).
- Peakall R, Smouse PE (2006) GENALEX 6: genetic analysis in excel. Population genetic software for teaching and research. *Molecular Ecology Notes* 6:288-295.
- Pour-Aboughadareh A, Ahmadi J, Mehrabi AA, Etminan A, Moghaddam M (2018) Insight into the genetic variability analysis and relationships among some *Aegilops* and *Triticum* species, as genome progenitors of bread wheat, using SCoT markers. *Plant Biosystem* 152:694-703.
- Pour-Aboughadareh A, Ahmadi J, Mehrabi AA, Etminan A, Moghaddam M (2017a) Assessment of genetic diversity among Iranian *Triticum* germplasm using agromorphological traits and start codon targeted (SCoT) markers. *Cereal Research Communications* 45:574-586.
- Powell W, Morgante M, Andre C, Hanafey M, Vogel J, Tingey S, Rafalski A (1996) The comparison of RFLP, RAPD, AFLP and SSR (microsatellite) markers for germplasm analysis. *Molecular Breeding* 2:225-238.
- Prevost A, Wilkinson MJ (1999) A new system of comparing PCR primers applied to ISSR fingerprinting of potato cultivars. *Theoretical and Applied Genetics* 98:107-112.
- Qaderi A, Omid M, Pour-Aboughadareh A, Poczai P, Shaghani J, Mehrafarin A, Nohoori M, Etminan A (2019) Molecular diversity and phytochemical variability in the Iranian poppy (*Papaver bracteatum* Lindl.): A baseline for conservation and utilization in future breeding programmes. *Industrial Crops and Products* 130:237-247.
- Salahlou R, Safaie N, Shams-Bakhsh, M (2019) Using ISSR and URP-PCR markers in detecting genetic diversity among *Macrophomina phaseolina* isolates of sesame in Iran. *Journal of Crop Protection* 8:293-309.

Sandor P, Kismanyoky A (2004) Comparative test of fenugreek (*Trigonella foenumgraceum* L.). *Journal of Central European Agriculture* 4:259-262.

Tamura K, Peterson D, Peterson N, Stecher G, Nei M, Kumar S (2011) MEGA5: molecular evolutionary genetics

analysis using maximum likelihood, evolutionary distance, and maximum parsimony methods. *Molecular Biology Evolution* 28:2731–2739.